

2 重周期円柱列  
を過ぎるストークス流れ

東大 理 橋 本 英 典

{ 1 はしがき

2次元および3次元の周期格子状に周期的に配置された物体を過ぎるストークス流れに対応する周期巡回数方程式のフーリエ級数による構成とその球群、円柱群および3次元の任意物体群を構成する物体に働く力に対する応用等について(1, 2)は文献1), 2)に述べたが, この2)は複素関数論の応用として2次元格子に対する周期複素巡回数方程式の基本解を楕円関数を用いて構成し, 従前の結果とを比較している。また円柱列の場合にあって, 軸に垂直な流れと並行な流れとの関係を示す。また格子間隔に比し, 半径が小さいときにおいて, 力の方向と平均流の方向が一般には平行であることを示す。また全体を多孔媒質と見たときの平均流と圧力勾配の関係のケルシーの法則が一般には非等方位でテニソル形をとることを示し, その係数を求める。

## § 2 基本解

複素関数  $z = x + iy$  の周期長  $X_{mn}$  :  $z = \Omega_{mn} = 2m\omega_1 + 2n\omega_2$   
 ( $n, m = \pm 1, \pm 2, \dots$ ) に物体を周期的に配置するとき, このとき  
 流線のストークス流の基本解は各物体に働く力  $K = F_x + iF_y$   
 流速  $w = u - iv$ , 圧力  $p$  とする  $X_{mn}$  の support とする  
 の関数の和を右辺に持つ複素方程式 (一は複素共役を表わす)

$$\mu \Delta \bar{w} \equiv \frac{\mu}{4} \frac{\partial^2}{\partial x^2 + \partial y^2} \bar{w} = K \sum_{m,n} \delta(x - X_{mn}) + 2 \frac{\partial p}{\partial \bar{z}} \quad (2.1)$$

を満足する。一方渦度

$$\omega = \frac{\partial v}{\partial x} - \frac{\partial u}{\partial y} \quad (2.2)$$

は連続の式

$$0 = \frac{\partial u}{\partial x} + \frac{\partial v}{\partial y} \quad (2.3)$$

を考慮すれば  $\bar{w}$  から微分

$$\frac{\partial \bar{w}}{\partial \bar{z}} = \frac{i}{2} \omega \quad (2.4)$$

によつて導かれる。 (2.4) を (2.1) に代入して  $\bar{w}$  を消去し,  $X_{mn}$   
 の support とするデルタ関数の複素表示

$$\delta(x - X_{mn}) = \frac{1}{\pi} \frac{\partial}{\partial \bar{z}} \left( \frac{1}{z - z_{mn}} \right) \quad (2.5)$$

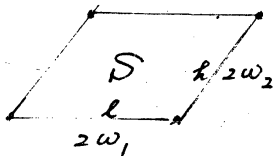
を用ゝれば

$$\frac{\partial}{\partial z} (p - i\mu\omega) = -\frac{K}{2\pi} \frac{\partial}{\partial z} \sum_{m,n} \frac{1}{z - z_{mn}} \quad (2.6)$$

を得る。これを積分すれば

$$p - i\mu\omega = g'_F(z) = -\frac{K}{2\pi} \zeta(z) - Pz \quad (2.7)$$

を得る。ただし  $\zeta(z)$  は  $z_{mn} = 1$  の格子で、Weierstrass の  $\zeta$  関数であつて、擬周期性



$$\zeta(z + 2\omega_j) = \zeta(z) + 2\eta_j \quad (2.8)$$

を得る。ここで、 $\omega$  が同期的、 $p$  の分配が同期的であることと、 $\zeta$  とは互換して  $Pz$  の項を加えてある。単位  $z \rightarrow z + 2\omega_j$  に対する変化を  $\delta_j$  とするから、 $\omega$  の同周期性と (2.8) を考慮すると

$$0 = \text{Im}[\delta_j g'] = \text{Im}[2P\omega_j + 2A\eta_j] = 0 \quad (2.9)$$

$$\text{したがって} \quad A = K/(2\pi) \quad (2.10)$$

を得る。また

$$\frac{\pi}{2i} = \{\omega, \eta\} \equiv \omega_1 \eta_2 - \omega_2 \eta_1 = -\{\bar{\omega}, \bar{\eta}\} \quad (2.11)$$

$$\frac{\delta}{2i} = \{\omega, \bar{\omega}\} = -\{\bar{\omega}, \omega\} \quad (2.12)$$

を用いて (2.9) の解は  $P$  と (2)

$$P = \frac{1}{S} (\beta A + \pi \bar{A}) \quad (2.13)$$

ただし  $\beta = 2i + \bar{\omega}, \gamma$  (2.14)

と  $\omega$  の関係は  $\omega = \gamma + i\beta$  とおかれる。ただし  $S$  は周期平行四辺形の面積である。

### § 3. 一般解 $I$ ( $p$ と $\omega$ )

一般解の基底解の任意個の微分を重ねるとして、 $2$  階の  $\varphi$  の同数

$$\varphi(z) = -\zeta'(z)$$

と  $n$  階微分を用いて (2.7) の  $f$

$$p - i\mu\omega = f'(z) = -Pz - A\zeta(z) - \sum_{n=1}^{\infty} A_n \varphi^{(n)}(z) \quad (3.1)$$

の形になるがこれを  $\omega$  とおかれる。ただし  $A_n$  は任意定数である。(3.1) の  $f$

$$-S_j p = \frac{\pi}{S} \operatorname{Re}[A\bar{\omega}_j] \quad (3.2)$$

を得、これを平均圧力勾配  $-\dot{P}_x, -\dot{P}_y$  の圧力差

$$-S_j [\dot{P}_x x + \dot{P}_y y] = -2 \operatorname{Re}[\bar{\omega}_j (\dot{P}_x + i\dot{P}_y)] \quad (3.3)$$

と比較して

$$\dot{P} = \dot{P}_x + i\dot{P}_y = -\frac{2\pi}{S} A = -\frac{1}{S} (F_x + iF_y) \quad (3.4)$$

可解性 "平均圧力分配" と物体に働く力は平行である  
 力 \$F\$ の大きさは圧力分配を \$P\$ 倍したものに等しい" と \$S\$  
 一般の場合を得る。

(3.1) 物体に働く力の公式<sup>5)</sup>

$$K = F_x + i F_y = i \oint_C g'(z) dz \quad (3.5)$$

(注) 1 種不路の物体を反時計方向に \$z\$ を任意の閉曲線  
 に代入すれば当然、(3.1) のよって \$2\pi A\$ を得る。  
 また、任意の閉曲線平行四辺形の周囲を \$C\$ にとれば、同様に  
 \$S\$ の圧力 \$F\$ の積分を \$S\$ の面積に代入して同様の結果が  
 得られる。

5

§ 4. 一般解 II. (\$w = u - i v\$) と軸方向の流 \$w\$

(3.1) を (2.4) に代入し \$z\$ を \$z\$ の任意関数 \$f'(z)\$ を加え

$$\begin{aligned} 4\mu w &= \bar{z} g' - \bar{g} + f'(z) \quad (= \int (g' - \bar{g}') d\bar{z}) \\ &= -Pz\bar{z} - A\bar{z} \quad (\text{or } \bar{z} \sum_{n=0}^{\infty} A_n z^n) \\ &\quad + \frac{1}{2} \bar{P} \bar{z}^2 + \bar{A} \log \bar{\sigma} \quad (\text{or } \sum_{n=0}^{\infty} \bar{A}_n z^{n+1}) + f'(z) \end{aligned} \quad (4.1)$$

を得る。\$f'(z)\$ の同数 \$(\log \sigma)' = S\$

7 接し同数

$$\log \sigma(z + 2\omega_j) = \pi i + 2\eta_j(z + \omega_j) + \sigma(z) \quad (4.2)$$

を得る。\$w\$ の同数は \$f'\$ と \$z^2, \log \sigma, z\$  
 の同数種同数以外に加える必要があり、種同

$$4\mu w = \bar{A} L + \frac{SA}{2\pi} L_z^2 + \frac{S}{\pi} L_z \sum_{n=0}^{\infty} A_n \varphi^{(n)}(z) - \bar{A}_0 G + \sum_{n=1}^{\infty} \bar{A}_n \bar{\varphi}^{(n-1)}(\bar{z}) + \sum_{n=0}^{\infty} B_n \varphi^{(n)}(z) + C \quad (4.3)$$

より

$$L \equiv L(z, \bar{z}) = \ln a \bar{a} + \frac{1}{2S} (\beta z^2 - 2\pi z \bar{z} + \bar{\beta} \bar{z}^2) \quad (4.4)$$

$$L_z \equiv \partial L / \partial z = \zeta + \frac{1}{S} (\beta z - \pi \bar{z}) \quad (4.5)$$

$$G \equiv \bar{\zeta} + \frac{1}{\pi} (\beta \zeta - \gamma \bar{z}) \quad (4.6)$$

$$\gamma = 2i + \bar{\beta}, \beta \quad (4.7)$$

を得る。こゝに同数  $L(z, \bar{z})$  は

$$\Delta L = -\frac{4\pi}{S}$$

を満足し、圧力勾配が軸方向に均一なとき、流れ  $w_{||}$  は支配する方程式

$$\mu \Delta w_{||} = -\dot{P}_{||} \quad (4.8)$$

の解が一般に

$$4\mu w_{||} = \frac{S\dot{P}}{\pi} [L(z, \bar{z}) + C_{||} + \left\{ \sum_0^{\infty} b_n \varphi^{(n)}(z) + \text{複素共役} \right\}] \quad (4.9)$$

で与えられることを示す。このとき柱の側面、円筒の  $S_b$  とすれば、 $w_{||}$  の軸方向に均一な単位長当りの力  $F_{||}$  は、圧力勾配  $\dot{P}$  のパラメータから

$$F_{||} = (S - S_b) \dot{P} \quad (4.10)$$

で与えられる。

§5 円柱格子

特に半径  $\varepsilon$  の格子の間の隔を  $\lambda$  とし  $\lambda \ll \varepsilon$  ( $\varepsilon \ll |\omega_1|$ ) 円柱格子に  
 して、格子間  $w = 0$  とすれば  $C = O(1)$ ,  $A = O(1)$ ,  $A_1 = O(\varepsilon^2)$   
 $A_2 = O(\varepsilon^4) \dots$ ,  $B_0 = O(1)$ ,  $B_2 = O(A_1) = O(\varepsilon^2)$ ,  $A_{2n} = 0$ ,  $B_{2n+1} = 0$   
 $B_{2n} = O(A_{2n-1})$  と  $\lambda$  のことばかり、各々の比較から

$$C = -\frac{\beta \varepsilon E}{\pi} A - [\ln \varepsilon^2 - \phi] \bar{A} + O(\varepsilon^2) \quad (5.1)$$

$$B_0 = -\frac{\beta A}{2\pi} E^2 + O(\varepsilon^2) \quad (5.2)$$

次に

$$E = 1 - \phi, \quad \phi = \pi \varepsilon^2 / S \quad (5.3)$$

と  $\lambda$  のことがわかる。これを用いて (4.1) を積分すれば、平均  
 流  $W = U - iV$  が

$$W = U - iV = \frac{2}{S} \{ \bar{\omega} \delta \psi \} = \frac{2}{S} (\bar{\omega}_1 \delta_1 \psi - \bar{\omega}_2 \delta_2 \psi) \quad (5.4)$$

によって求まる。ただし  $\delta_j \psi$  は長さ  $\lambda$  と  $\lambda + 2\omega_j$  の格子間隙を  
 左から右に通過する流束である。かゝる面倒な計算の後  $O(\varepsilon^2)$   
 の程度で、右に与えられた式を導く

$$8\pi \mu W = \lambda_1 K + \lambda_0 \bar{K} = -S(\lambda_1 \pi + \lambda_0 \bar{\pi}) \quad (5.5), (5.6)$$

を得る。ただし  $\pi$  は複素圧力勾配の平均値 ((3.4) 参照) である

$$\lambda_1 = -\frac{\bar{\omega}_1}{\omega_1} + \frac{\pi S}{\omega_1^2} (\hat{Q} - \frac{1}{24}) + \frac{3\gamma_1 S}{2\pi \omega_1} + \frac{2\beta}{\pi} \phi \quad (5.7)$$

$$\lambda_0 = 2 \ln \frac{R}{\varepsilon} - 2 \ln (2\pi |\hat{Q}_0|^2) + \frac{\pi S}{3R^2} + 2\phi = \text{実数} \quad (5.8)$$

$$\hat{Q}_0 = \prod_{n=1}^{\infty} (1 - \hat{q}^{2n}), \quad \hat{Q} = \sum_{n=1}^{\infty} \frac{\hat{q}^{2n}}{1 - \hat{q}^{2n}}, \quad \hat{q} = e^{-\pi i(\omega_1/\omega_2)} \quad (5.9)$$

$$\hat{z}_2 = \frac{\pi^2}{\omega_2} \left( \frac{1}{12} - 2\hat{H} \right), \quad \hat{H} = \sum_{n=1}^{\infty} \frac{\pi \hat{\delta}^{2n}}{1 - \hat{\delta}^{2n}} \quad (5.10)$$

$$\beta = \pi \frac{\bar{\omega}_2}{\omega_2} \left[ 1 - \frac{\pi \delta}{1 \omega_2} \left( \frac{1}{12} - 2\hat{H} \right) \right], \quad \ell = |2\omega_1|, \quad h = |2\omega_2| \quad (5.11)$$

である。座標回転

$$w' = w e^{i\theta}, \quad k' = k e^{-i\theta} \quad (5.12)$$

による座標回転は

$$\theta = -\frac{1}{2} \tan^{-1} \left[ \frac{\text{Im}[\lambda_1]}{\text{Re}[\lambda_1]} \right] \quad (5.13)$$

であるから、この2つの方向を方向  $\tau$  として力  $F$  と速度  $U$  が釣り合う

$$8\pi\mu U = (\lambda_0 \pm |\lambda_1|)F, \quad V = 0 \quad (5.14)$$

となることを示す。

i) 円柱列  $t = h/\ell \ll 1$ ,  $2\alpha = 90^\circ$  とする。

$$4\pi\mu U = \log \frac{h}{\varepsilon} - \log(2\pi) + \frac{1}{2} + \frac{\pi^2 \varepsilon^2}{3h^2} \quad (5.15)$$

玉田藤川<sup>3)</sup>, 宮城<sup>4)</sup>の結果と一致する。

ii) U 形配置



$h = \ell$ ,  $2\alpha \leq \frac{\pi}{2}$ , 座標は対角線  
 $Q_0 = \bar{Q}_0 = \hat{Q}$ ,  $Q = \bar{Q} = \hat{Q}$  方向

$$\lambda_0 = 2 \ln \left[ \frac{h}{2\pi |Q_0|^2 \varepsilon} \right] + \frac{\pi}{3} \sin 2\alpha + 2\phi$$

$$\lambda_1 = -4\pi \text{Im}[Q] - \frac{3}{2\pi} \beta + \frac{2\phi}{\pi} \phi$$

$$\beta = -8\pi \frac{h}{\ell} \quad (5.16)$$

Isotropic  $\lambda_2 = 0$

iii) 正方形配置

$$h = \ell$$

$$\alpha = \pi/4$$

$$4\pi\mu W = \left\{ \ln \frac{h}{\varepsilon} - \left[ \log(2\pi Q_0^2) - \frac{\pi}{6} \right] + \phi \right\} \bar{K}$$

= (4.17.1) の結果を、 $\alpha = \pi/4$  とし、 $Q_0 = \hat{Q}$  とする。1.3105 (5.17)

iv) 6 角格子配置  $h = \ell$ ,  $\alpha = \pi/6$ , Isotropic  $\lambda_2 = 0$

$$4\pi\mu W = \left\{ \ln \frac{h}{\varepsilon} - \left[ \log(2\pi Q_0^2) - \frac{\sqrt{3}}{12} \pi \right] + \phi \right\} \bar{K}$$

1.3931 (5.18)



§6 柱に平行な流れ

(4.9), (4.10) を用いて柱に平行な流れに、... 2行反の反計算  
によれば、正方形、六角形配置に、 $\lambda(\phi)$  の程度で

$$F_{\perp} = 4\pi\lambda\mu U_{\perp}, \quad F_{\parallel} = 2\pi\lambda'\mu U_{\parallel} \quad (6.1)$$

$$\text{ただし } U_{\parallel} = \frac{Q}{S} (1 - \phi) \quad (6.2)$$

(Qは同期平行4方形内の全流量)

$$U_{\perp} = \frac{\lambda S \dot{P}}{4\pi\mu}, \quad Q = \frac{\lambda S^2 \dot{P}}{2\pi\mu} \quad (6.3)$$

とわかる。

#### References.

- 1) H. Hasimoto : J. Fluid Mech. 5 (1959) 317.
- 2) H. Hasimoto : Theor. & Appl. Mech. 22 (1974) 287.
- 3) K. Tamada & H. Fujikawa : Quart. J. Mech. Appl. Math. 10 (1957) 423.
- 4) T. Miyagi : J. Phys. Soc. Japan 13 (1958) 209.
- 5) 今井 功 : 流体力学 前編 (1973, 裳華房) 338.